

# ДИФРАКЦИОННОЕ ОТРАЖЕНИЕ СВЕТА В ХОЛЕСТЕРИЧЕСКОМ ЖИДКОМ КРИСТАЛЛЕ В ПРИСУТСТВИИ НЕОБРАТИМОСТИ ВОЛН И ФОРМУЛА БРЭГГА—ВУЛЬФА ДЛЯ СРЕД С НЕОДИНАКОВЫМИ ДЛИНАМИ ПРЯМОЙ И ОБРАТНОЙ ВОЛН

*О. С. Ерицян\**

*Ереванский государственный университет  
375049, Ереван, Армения*

Поступила в редакцию 22 октября 1998 г.

Рассмотрено дифракционное отражение света в холестерическом жидком кристалле в присутствии магнитооптической активности, приводящей к необратимости волн, в частности, к неодинаковости длин прямой и обратной волн. Показано, что формула Брэгга—Вульфа, содержащая одну длину волны, одинаковую для прямой и обратной волн, в рассматриваемой среде должна быть записана с участием двух длин волн. Приведены соотношения, обобщающие формулу Брэгга—Вульфа для сред с неодинаковыми длинами прямой и обратной волн, и рассмотрены примеры применения этих соотношений. Решена граничная задача для слоя холестерического жидкого кристалла.

PACS: 78.20Ek, 78.20Ls, 42.70Df

## 1. ВВЕДЕНИЕ

Распространение света в холестерических жидких кристаллах (ХЖК), как известно, имеет дифракционный характер [1, 2]. В средах, обладающих право-левой асимметрией пространственной структуры, какими являются естественно гиротропные среды и ХЖК, которые также должны быть отнесены, по определению, к гиротропным [3], в присутствии магнитооптической активности имеет место необратимость волн [4]: поверхность волновых векторов лишена центра симметрии, что приводит к неодинаковости величин, характеризующих свойства среды (фазовая скорость, модули углов поворота плоскости поляризации и кругового дихроизма и др.), соответствующих взаимно противоположным направлениям распространения.

Если рассматривать дифракционное отражение в ХЖК при распространении света вдоль оси среды в присутствии магнитного поля, то последнее индуцирует в среде магнитооптическую активность, что приводит к отмеченной выше необратимости волн. При этом во избежание эффектов искажения струк-

туры, имеющих место под влиянием поля, целесообразен выбор ХЖК с такими модулями Франка  $K_{22}$ ,  $K_{33}$  [2, с. 244], при которых искажение отсутствует до достижения полем некоторого критического значения. В этом случае формула Брэгга—Вульфа

$$2d \sin \varphi = n\lambda$$

теряет смысл, так как имеется не одна длина волны, а две, разные (из-за необратимости волн) для прямого и обратного направлений распространения.

Ниже, в разд. 2, мы рассмотрим дифракционное отражение в ХЖК в условиях необратимости волн и вычислим длины прямой и обратной волн на частотах, совпадающих с границами частотной области дифракционного отражения. Как показывает прямой расчет, длины прямой и обратной волн неодинаковы, и соотношение, выражающее условие усиления волн, отраженных на периодических неоднородностях среды, по своей форме отличается от формулы Брэгга—Вульфа. В соответствии с этим в уравнении Лауэ [5] модули волновых векторов прямой и обратной волн неодинаковы, и диаграмма, геометрически выражающая это уравнение [5], оказывается несимметричной относительно плоскости, перпенди-

\*E-mail: physdep@moon.yerphi.am

кулярной вектору обратной решетки и делящей последний пополам.

Оказывается, что необратимость волн в смысле отсутствия центра симметрии у поверхности волновых векторов — жесткое условие для изменения вида формулы Брэгга—Вульфа. А именно, такое изменение имеет место также в естественно гиротропной среде в присутствии периодической неоднородности. Неодинаковость длин прямой и обратной волн обусловлена в такой среде разной поляризацией этих волн. Периодически неоднородные естественно гиротропные среды исследуются в разд. 3.

В разд. 4 рассмотрено дифракционное отражение при  $k_i \neq k_s$  ( $\mathbf{k}_i$  и  $\mathbf{k}_s$  — волновые векторы прямой (падающей) и обратной (рассеянной) волн) в случае наклонного к плоскостям слоев распространения без учета в дисперсионном уравнении взаимодействия прямой и обратной волн. Вкратце рассмотрен также случай присутствия внешнего магнитного поля в естественно гиротропной среде.

В разд. 5 приведены результаты для случая прохождения света через слой ХЖК, обладающий необратимостью волн.

## 2. ДИФРАКЦИОННОЕ ОТРАЖЕНИЕ В МАГНИТОАКТИВНОМ ХЖК И ФОРМУЛА БРЭГГА—ВУЛЬФА

### 2.1. Дисперсионное уравнение

Рассмотрим распространение света частоты  $\omega$  вдоль оси ХЖК (ось  $z$ ) в присутствии внешнего магнитного поля, направленного вдоль этой оси. Пользуясь методом циркулярных компонент [1] или методом перехода в волновом уравнении к компонентам полей, отнесенным к осям  $x'$ ,  $y'$ , поворачивающимся вместе со структурой [6] (ось  $x'$  везде направлена вдоль директора, ось  $y'$  перпендикулярна оси  $x'$ , причем тройка осей  $x'$ ,  $y'$ ,  $z$  составляет правовинтовую систему), в обоих случаях приходим к следующему уравнению:

$$\mathcal{K}_g^4 - \left[ \frac{\omega^2}{c^2}(\varepsilon_1 + \varepsilon_2) + 2q^2 \right] \mathcal{K}_g^2 - 4q \frac{\omega^2}{c^2} g \mathcal{K}_g + \left( \frac{\omega^2}{c^2} \varepsilon_1 - q^2 \right) \left( \frac{\omega^2}{c^2} \varepsilon_2 - q^2 \right) - \frac{\omega^4}{c^4} g^2 = 0. \quad (1)$$

Здесь  $2\pi/\mathcal{K}_g$  — пространственный период поля в локальной системе среды,  $\varepsilon_1$  и  $\varepsilon_2$  — главные значения тензора диэлектрической проницаемости ХЖК соответственно вдоль осей  $x'$  и  $y'$ ,  $g$  —  $z$ -компонента вектора гирации, направленного вдоль оси  $z$ , ответственная за магнитооптическую активность,  $q = 2\pi/\sigma$ ,  $\sigma$  — шаг спирали. Проекция  $k_{mz}$  вол-

новых векторов циркулярных компонент поля связаны с корнями уравнения (1) соотношениями

$$k_{mz}^{\pm} = \mathcal{K}_{mg} \pm q, \quad (2)$$

как и в случае отсутствия магнитооптической активности, рассмотренном в [1, 2]: различие заключается в том, что корни уравнения (1) при  $g \neq 0$  не совпадают с корнями этого уравнения при  $g = 0$ .

### 2.2. Определение границ области дифракционного отражения и величин $\mathcal{K}_{mg}$ на этих границах

Определим теперь границы  $\omega_{1g}$ ,  $\omega_{2g}$  области дифракционного отражения (индекс  $g$  указывает на присутствие магнитооптической активности). Будем считать  $\varepsilon_1$ ,  $\varepsilon_2$ ,  $g$  действительными. Вне области дифракционного отражения величины  $\mathcal{K}_{mg}$  действительны, а внутри нее обладают мнимой частью, т.е. комплексны. То же относится к  $k_{mz}^{\pm}$ , так как величина  $q$  в (2) действительна. Так как коэффициенты уравнения (1) действительны, то его комплексные корни должны быть комплексно-сопряженными. Поэтому на границах области дифракционного отражения, на которых при выходе из этой области исчезают мнимые части комплексных корней уравнения (1), последние должны быть кратными. (При  $g = 0$  границы области дифракционного отражения обычно определяются из требования существования нулевых корней уравнения (1) [1, 2], а последние автоматически оказываются кратными.)

Обозначим кратные корни уравнения (1) при  $g = 0$  через  $\mathcal{K}_m$ . При  $g = 0$  имеем  $\mathcal{K}_m = 0$  на границах  $\omega_1$ ,  $\omega_2$  области дифракционного отражения. Ввиду малости  $g$  величины  $\mathcal{K}_{mg}$  будут мало отличаться от их значений при  $g = 0$ , т.е. от нуля. (Магнитооптический поворот плоскости поляризации в полях  $\sim 10^4$  Гс в немагнитных диэлектриках в оптической области частот  $\sim 10$  град/см. При длине волны (в вакууме)  $\lambda \simeq 5 \cdot 10^{-5}$  см, диэлектрической проницаемости  $\varepsilon \sim 5$  получаем  $g \sim 10^{-5}$ .) Пренебрегая четвертой степенью  $\mathcal{K}_g$  в (1), приходим к следующему выражению для  $\mathcal{K}_g$ :

$$\mathcal{K}_g = \left( -2q \frac{\omega^2}{c^2} g \pm \eta \right) \left[ \frac{\omega^2}{c^2}(\varepsilon_1 + \varepsilon_2) + 2q^2 \right]^{-1}, \quad (3)$$

где

$$\eta = \left\{ \left[ \frac{\omega^2}{c^2}(\varepsilon_1 + \varepsilon_2) + 2q^2 \right] \left( \frac{\omega^2}{c^2} \varepsilon_1 - q^2 \right) \left( \frac{\omega^2}{c^2} \varepsilon_2 - q^2 \right) + \frac{\omega^4}{c^4} g^2 \left[ 2q^2 - \frac{\omega^2}{c^2}(\varepsilon_1 + \varepsilon_2) \right] \right\}^{1/2}. \quad (4)$$

Корни будут кратные, если  $\eta = 0$ . Из уравнения  $\eta = 0$  определяются границы  $\omega_{1g}, \omega_{2g}$  частотной области дифракционного отражения. С точностью до величин, содержащих  $g$  во второй степени, имеем

$$\omega_{1g} = \frac{qc}{\sqrt{\varepsilon_1}} \left[ 1 + \frac{g^2}{2\varepsilon_1(3\varepsilon_1 + \varepsilon_2)} \right], \quad (5)$$

$$\omega_{2g} = \frac{qc}{\sqrt{\varepsilon_2}} \left[ 1 + \frac{g^2}{2\varepsilon_2(3\varepsilon_2 + \varepsilon_1)} \right]. \quad (6)$$

Подставляя в (3)  $\eta = 0$  и значения частот (5), (6), получаем значения  $\mathcal{K}_{1,2g}(\omega_{1g}), \mathcal{K}_{1,2g}(\omega_{2g})$  кратных корней, ограничиваясь величинами, содержащими  $g$  в первой степени:

$$\mathcal{K}_{1,2g}(\omega_{1g}) = -\frac{2qg}{3\varepsilon_1 + \varepsilon_2} \quad (7)$$

на частоте  $\omega = \omega_{1g}$  и

$$\mathcal{K}_{1,2g}(\omega_{2g}) = -\frac{2qg}{3\varepsilon_2 + \varepsilon_1} \quad (8)$$

на частоте  $\omega = \omega_{2g}$ . Относительная погрешность определения кратных корней, связанная с пренебрежением  $\mathcal{K}_g^4$  в (1), есть величина порядка  $g^2/\varepsilon^2$  ( $\varepsilon \sim \varepsilon_1 \sim \varepsilon_2$ ).

### 2.3. Диаграмма Лауэ и формула Брэгга—Вульфа

Для  $z$ -компонент волновых векторов волн с дифрагирующей поляризацией с помощью (2), (7), (8) получаем

$$k_{1z}^\pm = k_{2z}^\pm = -2qg(3\varepsilon_1 + \varepsilon_2)^{-1} \pm q \quad (9)$$

на частоте  $\omega_{1g}$  и

$$k_{1z}^\pm = k_{2z}^\pm = -2qg(3\varepsilon_2 + \varepsilon_1)^{-1} \pm q \quad (10)$$

на частоте  $\omega_{2g}$ .

Для конкретности рассмотрим одну из этих частот, скажем  $\omega = \omega_{1g}$ . Из (9) имеем для  $z$ -компоненты волнового вектора прямой волны (распространяющейся в направлении оси  $z$ )

$$k_{zi} = -2qg(3\varepsilon_1 + \varepsilon_2) + q. \quad (11)$$

Для обратной волны ( $k_{zs} < 0$ )

$$k_{zs} = -2qg(3\varepsilon_1 + \varepsilon_2) - q. \quad (12)$$

Согласно (11) и (12),  $|k_{zi}| \neq |k_{zs}|$ . Поэтому не равны друг другу также длины прямой и обратной волн,  $\lambda_i$  и  $\lambda_s$ :

$$\lambda_{i,s} = \frac{2\pi}{k_{i,s}} = \frac{2\pi}{|k_{zi,s}|} = \frac{\sigma}{1 \pm 2g(3\varepsilon_1 + \varepsilon_2)^{-1}}. \quad (13)$$

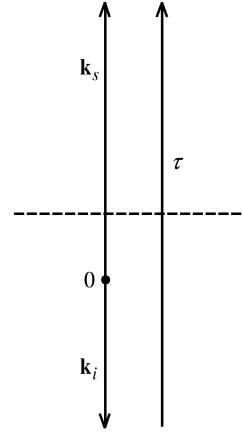


Рис. 1. Диаграмма, описывающая уравнение Лауэ для магнитоактивного ХЖК. Из-за необратимости волн модули волновых векторов прямой и обратной волн (соответственно  $k_i$  и  $k_s$ ) неодинаковы

На рис. 1 представлена диаграмма, описывающая уравнение Лауэ

$$\mathbf{k}_s - \mathbf{k}_i = \boldsymbol{\tau}, \quad (14)$$

где  $\tau = 2\pi n/d$ ,  $d = \sigma/2$  — период неоднородности среды.

Эта диаграмма отличается тем, что модули векторов  $\mathbf{k}_i$  и  $\mathbf{k}_s$  неодинаковы, поэтому нет симметрии относительно плоскости, перпендикулярной вектору  $\boldsymbol{\tau}$  и делящей последний пополам (эта плоскость отмечена на рисунке штрихами).

Проецируя уравнение Лауэ на направление  $\boldsymbol{\tau}$ , приходим к соотношению

$$\frac{2\pi}{\lambda_s} + \frac{2\pi}{\lambda_i} = \frac{2\pi}{d}, \quad (15)$$

которое переходит в формулу Брэгга—Вульфа в своей обычной форме

$$2d \sin \varphi = n\lambda \quad (16)$$

(в данном случае  $n = 1$ ,  $\varphi = \pi/2$ ) только при  $\lambda_i = \lambda_s$ .

В следующем разделе рассмотрен пример другой среды, для которой формула Брэгга—Вульфа в обычном виде также неприменима из-за неодинаковости  $\lambda_i$  и  $\lambda_s$ .

## 3. ПЕРИОДИЧЕСКИ НЕОДНОРОДНАЯ ИЗОТРОПНАЯ ЕСТЕСТВЕННО ГИРОТРОПНАЯ СРЕДА

### 3.1. Материальные уравнения

Будем рассматривать распространение электромагнитной волны частоты  $\omega$  в среде, описываемой

материальными уравнениями

$$\begin{aligned} \mathbf{D} &= \varepsilon_0 \mathbf{E} + \frac{1}{2}(\Delta\varepsilon)e^{-i\Omega t} [e^{i\tau z} + e^{-i\tau z}] \mathbf{E} + \gamma \operatorname{rot} \mathbf{E}, \\ \mathbf{B} &= \mathbf{H}, \end{aligned} \quad (17)$$

где  $\Omega$  — частота волны, модулирующей диэлектрическую проницаемость среды,  $\Delta\varepsilon$  — глубина модуляции,  $\tau = 2\pi/d$ ,  $d$  — период неоднородности среды. Уравнения (17) описывают естественно гиротропную изотропную среду [3, 5, 7, 8] с модулированной в пространстве диэлектрической проницаемостью. Модуляция может быть создана, например, плоской ультразвуковой волной. Будем считать, что в волновом уравнении для электромагнитной волны можно пренебречь зависимостью параметров среды от времени, а их временную зависимость учитывать в окончательных результатах. Если в отсутствие пространственной дисперсии ( $\gamma = 0$ ) так можно поступать при  $\Omega/\omega \ll 1$  [9], то при  $\gamma \neq 0$  следует требовать также

$$\left| \frac{\Omega}{\omega} \Delta\varepsilon \right| \ll \left| \frac{\omega^2}{c^2} \gamma \right|, \quad (18)$$

чтобы было правомерно сохранять  $\gamma$  в волновом уравнении, пренебрегая при этом указанными выше производными по времени. Считая длину ультразвуковой волны порядка длины световой волны (что необходимо для дифракционного отражения т. е.  $\Omega/v \sim \omega/c$  ( $v$  — скорость механической волны), условие (18) запишем в виде

$$\left| \frac{v}{c\lambda} \Delta\varepsilon \right| \ll \left| \frac{\omega^2}{c^2} \gamma \right|. \quad (19)$$

Обычные значения угла  $\vartheta_0$  поворота плоскости поляризации на единице длины пути луча составляют несколько градусов на сантиметр. Считая  $\vartheta_0 \simeq 5$  град/см, получаем  $|\omega^2 \gamma / c^2| \sim 10^{-1}$ . Поэтому соотношение (19) сводится к неравенству

$$\left| \frac{\omega}{c} \Delta\varepsilon \right| \ll 0.1,$$

что легко выполнимо.

### 3.2. Дифракционное отражение

Представим поле монохроматической волны, распространяющейся в среде вдоль оси  $z$ , в виде

$$\begin{aligned} \mathbf{E}(z, t) &= \left[ \mathbf{E}_0 \exp(ik_{0z}z) + \sum_m \mathbf{E}_m \exp(ik_{mz}z) \right] \times \\ &\times \exp(-i\omega t). \end{aligned} \quad (20)$$

Пользуясь уравнениями (17), из волнового уравнения получаем

$$k_{mz} = k_{0z} + m\tau, \quad m = \pm 1, \pm 2, \dots \quad (21)$$

В двухволновом приближении, учитывая пространственные компоненты  $\mathbf{E}_0 \exp[i(k_{0z}z - \omega t)]$  и  $\mathbf{E}_{-1} \exp[i(k_{-1z}z - \omega t)]$ , получаем следующее уравнение для  $k_{0z}$ :

$$\begin{aligned} &\left[ \frac{\omega^2}{c^2} \varepsilon_0 - k_{0z}^2 + \frac{\omega^2}{c^2} \gamma k_{0z} \right] \left[ \frac{\omega^2}{c^2} \varepsilon_0 - (k_{0z} - \tau)^2 + \right. \\ &\left. + \frac{\omega^2}{c^2} \gamma (k_{0z} - \tau) \right] - \frac{\omega^4}{c^4} \frac{(\Delta\varepsilon)^2}{4} = 0. \end{aligned} \quad (22)$$

Для определения  $k_{0z}$  и  $k_{-1z}$  на границах области дифракционного отражения представим  $k_{0z}$  в виде

$$k_{0z} = \frac{\tau}{2} + x. \quad (23)$$

Тогда для  $k_{-1z}$  будем иметь

$$k_{-1z} = -\frac{\tau}{2} + x. \quad (24)$$

Подставив (23) в (22), приходим к уравнению для  $x$ :

$$\begin{aligned} &x^4 - 2 \frac{\omega^2}{c^2} \gamma x^3 - \left[ 2 \left( \frac{\omega^2}{c^2} \varepsilon_0 + \frac{\tau^2}{4} \right) - \frac{\omega^4}{c^4} \gamma^2 \right] x^2 + \\ &+ 2 \left( \frac{\omega^2}{c^2} \varepsilon_0 + \frac{\tau^2}{4} \right) \frac{\omega^2}{c^2} \gamma x + \\ &+ \left( \frac{\omega^2}{c^2} \varepsilon_0 - \frac{\tau^2}{4} \right)^2 - \frac{\omega^4}{c^4} \frac{(\Delta\varepsilon)^2}{4} - \frac{\tau^2}{4} \frac{\omega^4}{c^4} \gamma^2 = 0. \end{aligned} \quad (25)$$

Пространственная дисперсия приводит в изотропной однородной среде к изменению модулей волновых векторов на величину порядка  $\omega^2 \gamma / c^2$  [5]. Считая  $x$  в (25) величиной такого порядка и пренебрегая  $x$  в четвертой и третьей степенях, из (25) получаем

$$\begin{aligned} x &= \left[ \left( \frac{\omega^2}{c^2} \varepsilon_0 + \frac{\tau^2}{4} \right) \frac{\omega^2}{c^2} \gamma \pm \sqrt{u} \right] \times \\ &\times \left[ 2 \left( \frac{\omega^2}{c^2} \varepsilon_0 + \frac{\tau^2}{4} \right) + \frac{\omega^4}{c^4} \gamma^2 \right]^{-1}, \end{aligned} \quad (26)$$

$$\begin{aligned} u &= \left( \frac{\omega^2}{c^2} \varepsilon_0 + \frac{\tau^2}{4} \right) \frac{\omega^4}{c^4} \gamma^2 + \times \\ &\times \left[ 2 \left( \frac{\omega^2}{c^2} \varepsilon_0 + \frac{\tau^2}{4} \right) + \frac{\omega^4}{c^4} \gamma^2 \right] \times \\ &\times \left[ \left( \frac{\omega^2}{c^2} \varepsilon_0 - \frac{\tau^2}{4} \right)^2 - \frac{\omega^4}{c^4} \frac{(\Delta\varepsilon)^2}{4} - \frac{\tau^2}{4} \frac{\omega^4}{c^4} \gamma^2 \right]. \end{aligned} \quad (27)$$

Допуская относительную погрешность порядка

$$\frac{\omega^4}{c^4} \gamma^2 \left( \frac{\omega^2}{c^2} \varepsilon_0 + \frac{\tau^2}{4} \right)^{-1},$$

из (27) получаем следующее выражение для кратных корней:

$$x_{1,2} = \frac{1}{2} \frac{\omega^2}{c^2} \gamma. \quad (28)$$

Таким образом, согласно (23), (24), (28),

$$k_{0z} = \frac{\tau}{2} + \frac{1}{2} \frac{\omega^2}{c^2} \gamma, \quad k_{-1z} = -\frac{\tau}{2} + \frac{1}{2} \frac{\omega^2}{c^2} \gamma. \quad (29)$$

Формулы (29) имеют место, когда поляризация волн определяется соотношениями

$$E_{0x} - iE_{0y} = 0, \quad E_{-1x} - iE_{-1y} = 0 \quad (30)$$

(прямая волна имеет правую круговую поляризацию, обратная — левую). В случае, когда поляризации обеих волн обратные, следует в (29) заменить  $\gamma$  на  $-\gamma$ .

Согласно (29), длины прямой и обратной волн неодинаковы, поэтому формула Брэгга—Вульфа должна содержать две длины волн, как и в случае ХЖК, обладающего необратимостью волн.

Частотные границы области дифракционного отражения определяются из уравнения  $u = 0$  в (27). Допуская относительную погрешность порядка  $\tau^2 \gamma^2 / \Delta \varepsilon$ , для указанных границ имеем

$$\frac{\omega_{1,2}}{c} = \frac{\tau}{2} \left( \varepsilon_0 \pm \frac{\Delta \varepsilon}{2} \right)^{-1/2}. \quad (31)$$

При получении (31) считалось, что выполняется соотношение

$$\left| \frac{\omega}{c} \gamma \right| \ll \sqrt{2|\Delta \varepsilon|}. \quad (32)$$

#### 4. НАКЛОННОЕ РАСПРОСТРАНЕНИЕ СВЕТА. ОБОБЩЕНИЕ ВИДА ФОРМУЛЫ БРЭГГА—ВУЛЬФА

В разд. 2 и 3 мы рассматривали распространение света в направлении, перпендикулярном слоям. При этом мы учитывали взаимодействие прямой и обратной волн. В случае ХЖК это видно из того, что мы исходили из точного дисперсионного уравнения, учитывающего все волны (нами были выделены те его решения, которые соответствуют дифрагирующей поляризации). В случае среды, описываемой уравнениями (17), мы для определения  $k_{0z}$  и  $k_{-1z}$  получили дисперсионное уравнение с учетом обеих волн с  $z$ -компонентами волновых векторов  $k_{0z}$  и  $k_{-1z}$ . Ниже мы рассмотрим наклонное к слоям распространение, но без учета взаимодействия волн.

#### 4.1. Условие правомерности неучета взаимодействия волн на периодических неоднородностях среды

Неодинаковость длин прямой и обратной волн обусловлена, согласно (29), присутствием пространственной дисперсии, которая дает вклады  $\sim \omega^2 \gamma / 2c^2$  в модули волновых векторов этих волн. Для сохранения эффекта неодинаковости длин волн мы должны сохранить в  $k_{0z}$ ,  $k_{-1z}$  величины  $\omega^2 \gamma / 2c^2$ . Выясним, при каком условии правомерно сохранять вклад пространственной дисперсии, не учитывая при этом взаимодействия волн на периодических неоднородностях среды. Подставив в (29) значение  $\tau/2$  из (31), получаем

$$k_{0z} = \frac{\omega}{c} \sqrt{\varepsilon_0} + \frac{1}{2} \frac{\omega^2}{c^2} \gamma \pm \frac{\omega}{c} \frac{\Delta \varepsilon}{4\sqrt{\varepsilon_0}} \quad (33)$$

(двум знакам соответствуют две частотные границы области дифракционного отражения). Таким образом, на границах области дифракционного отражения взаимодействие волн приводит к поправке к модулям волнового вектора равной  $(\omega/c) \Delta \varepsilon / 4\sqrt{\varepsilon_0}$ , а пространственная дисперсия — к изменению этих модулей на  $\omega^2 \gamma / 2c^2$ . Поэтому при определении длин волн неучет взаимодействия волн правомерен, если

$$\left| \frac{\omega}{c} \gamma \right| \gg \left| \frac{\Delta \varepsilon}{2\sqrt{\varepsilon_0}} \right|. \quad (34)$$

Для света с длиной волны в вакууме  $\lambda \simeq 6 \cdot 10^{-5}$  см соотношения (32) и (34) при  $\omega^2 \gamma / c^2 \sim \sim 0.1$  дают

$$\left| \frac{\Delta \varepsilon}{\varepsilon_0} \right| \ll 10^{-6} \ll \sqrt{2|\Delta \varepsilon|}. \quad (35)$$

Эти соотношения выполняются, например, при

$$\varepsilon_0 \sim 5, \quad \Delta \varepsilon \simeq 5 \cdot 10^{-7}.$$

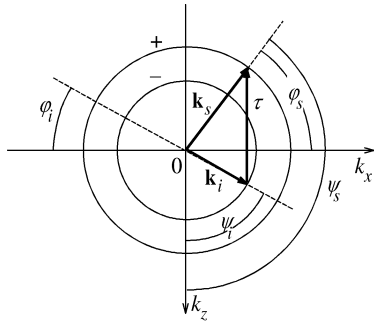
На рис. 2 представлено сечение плоскостью (проходящей через ось  $z$ ) поверхности волновых векторов для среды (17) без учета периодической неоднородности. Две сферы соответствуют волнам с правой и левой круговой поляризацией; модули волновых векторов для этих волн (т. е. радиусы сфер) равны:

$$k^- = \frac{\omega}{c} \sqrt{\varepsilon_0} + \frac{1}{2} \frac{\omega^2}{c^2} \gamma, \quad k^+ = \frac{\omega}{c} \sqrt{\varepsilon_0} - \frac{1}{2} \frac{\omega^2}{c^2} \gamma \quad (36)$$

(верхним индексам «-» и «+» соответствуют левая и правая круговые поляризации).

#### 4.2. Диаграмма Лауэ

Пусть теперь в среде создана периодическая неоднородность, причем имеет место соотношение



**Рис. 2.** Диаграмма, описывающая уравнение Лауэ для изотропной естественно гиротропной периодически неоднородной среды. Окружности — линии пересечения поверхности волновых векторов с плоскостью  $k_x, k_z$

(34). Тогда, допуская относительную погрешность порядка  $(\Delta\varepsilon/\varepsilon_0)(\omega\gamma/c)^{-1}$ , можно пользоваться выражениями (36) для  $k^+$  и  $k^-$ , а диаграмму, геометрически выражающую уравнение Лауэ, построить, считая модули волновых векторов равными радиусам сфер.

На рис. 2 изображена ситуация, удовлетворяющая уравнению Лауэ. Так как в направлении оси  $x$  нет неоднородности, то тангенциальные компоненты волновых векторов одинаковы:

$$k_s \cos \varphi_s = k_i \cos \varphi_i. \quad (37)$$

Это соотношение получается также при проектировании уравнения Лауэ на плоскость, перпендикулярную  $\tau$ . Так как  $k_s \neq k_i$ , то

$$\varphi_s \neq \varphi_i. \quad (38)$$

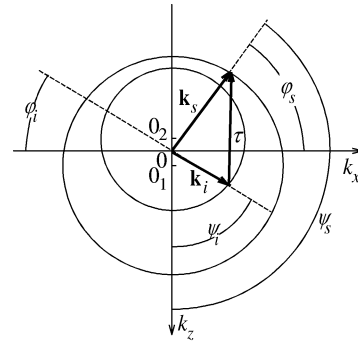
Проектируя уравнение Лауэ на направление  $\tau$ , получаем

$$k_s \sin \varphi_s + k_i \sin \varphi_i = \frac{2\pi}{d} n. \quad (39)$$

Это соотношение — фазовое условие усиления волн, рассеянных на периодических неоднородностях среды. Так как  $\varphi_i \neq \varphi_s$ , то соотношение (39) не сводится к формуле Брэгга—Вульфа в ее обычном виде.

### 4.3. Случай присутствия магнитного поля

В присутствии магнитного поля, направленного вдоль оси  $z$ , в правой части первого из материальных уравнений (17) добавляется член  $i[\mathbf{gE}]$ , ответственный за возникшую из-за присутствия этого поля магнитооптическую активность. Допуская в модулях волновых векторов относительную по-



**Рис. 3.** То же, что и на рис. 2, но для случая присутствия внешнего магнитного поля, которое приводит к необратимости волн

грешность порядка  $g^2$ , для модулей  $k^+$  и  $k^-$  будем иметь [4, 10]

$$k^\pm = \frac{\omega}{c} \sqrt{\varepsilon_0} \left[ 1 \mp \left( \frac{g}{\varepsilon_0} \cos \psi + \frac{(\omega/c)\gamma}{\sqrt{\varepsilon_0}} \right) \right], \quad (40)$$

где  $\psi$  — угол между направлением распространения волны и осью  $z$ , вдоль которой приложено внешнее поле.

Формула Брэгга—Вульфа принимает вид ( $\sin \varphi_i = \cos \psi_i$ ,  $\cos \varphi_i = \sin \psi_i$ ,  $\sin \varphi_s = -\cos \psi_s$ ,  $\cos \varphi_s = \sin \psi_s$ , см. рис. 3)

$$\begin{aligned} & \frac{\omega}{c} \sqrt{\varepsilon_0} \left[ 1 \mp \frac{1}{2} \left( \frac{g}{\varepsilon_0} \sin \varphi_i + \frac{\omega}{c} \gamma \frac{1}{\sqrt{\varepsilon_0}} \right) \right] \sin \varphi_i + \\ & + \frac{\omega}{c} \sqrt{\varepsilon_0} \left[ 1 \mp \frac{1}{2} \left( -\frac{g}{\varepsilon_0} \sin \varphi_s + \frac{\omega}{c} \gamma \frac{1}{\sqrt{\varepsilon_0}} \right) \right] \times \\ & \times \sin \varphi_s = \frac{2\pi}{d} n. \end{aligned} \quad (41)$$

К этой формуле должна быть присоединена формула (заменяющая соотношение  $\varphi_s = \varphi_i$ , имеющее место при  $\lambda_s = \lambda_i$ ):

$$\begin{aligned} & \left[ 1 \mp \frac{1}{2} \left( \frac{g}{\varepsilon_0} \sin \varphi_i + \frac{\omega}{c} \gamma \frac{1}{\sqrt{\varepsilon_0}} \right) \right] \cos \varphi_i = \\ & = \left[ 1 \mp \frac{1}{2} \left( -\frac{g}{\varepsilon_0} \sin \varphi_s + \frac{\omega}{c} \gamma \frac{1}{\sqrt{\varepsilon_0}} \right) \right] \cos \varphi_s. \end{aligned} \quad (42)$$

Четыре варианта выбора знаков в правой и левой частях выражения (41) соответствуют четырем ситуациям: правой и левой поляризациям рассеянной волны при правой и левой поляризациях падающей волны (то же относится к формуле (42)).

Диаграмма, выражающая уравнение Лауэ, изображена на рис. 3. Заметим, что диаграммы, изображенные на рис. 2 и 3, при нормальном к слоям падении совпадают по своему виду с диаграммой, изображенной на рис. 1 для ХЖК.

#### 4.4. Обобщение вида формулы Брэгга—Вульфа

Формула Брэгга—Вульфа для периодически неоднородной среды, в которой длины прямой и обратной волн неодинаковы, принимает форму

$$\frac{2\pi}{\lambda(\varphi_i)} \sin \varphi_i + \frac{2\pi}{\lambda(\varphi_s)} \sin \varphi_s = \frac{2\pi}{d} n, \quad (43)$$

к которой ввиду присутствия двух углов,  $\varphi_i$  и  $\varphi_s$ , в общем случае не равных друг другу, должна быть присоединена формула

$$\frac{2\pi}{\lambda(\varphi_i)} \cos \varphi_i = \frac{2\pi}{\lambda(\varphi_s)} \cos \varphi_s \quad (44)$$

(вместо  $\varphi_i = \varphi_s$ ).

Зависимость  $\lambda$  от  $\varphi$  дается дисперсионным уравнением.

#### 5. ПРОХОЖДЕНИЕ СВЕТА ЧЕРЕЗ ПЛОСКОПАРАЛЛЕЛЬНЫЙ СЛОЙ ХЖК В СЛУЧАЕ НЕОБРАТИМОСТИ ВОЛН

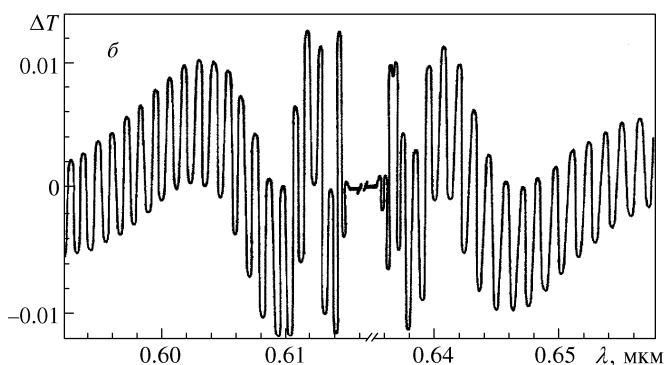
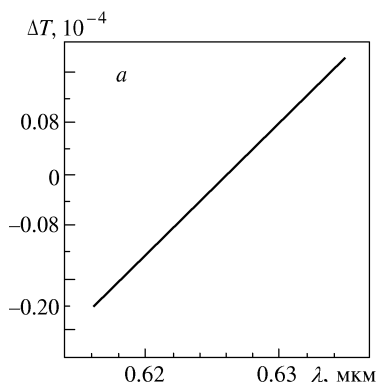
Рассмотрим нормальное прохождение плоскополяризованного света через плоскопараллельный

слой ХЖК, обладающий необратимостью волн. При этом будем изучать два варианта: прохождение в двух взаимно противоположных направлениях. На рис. 4б приведены результаты расчета разности коэффициентов прохождения для различных длин волн вне области дифракционного отражения, а на рис. 4а — то же, но для области дифракционного отражения. По оси ординат отложена разность  $\Delta T = T_1 - T_2$ , где  $T_1$  — коэффициент прохождения, когда свет падает на слой в направлении оси  $z$ , направление которой совпадает с направлением вектора гирации  $\mathbf{g}$ , перпендикулярного к границам слоя;  $T_2$  — коэффициент прохождения при обратном направлении распространения падающего света. Компоненты тензора диэлектрической проницаемости равны  $\varepsilon_1 = 2.290$ ,  $\varepsilon_2 = 2.143$ ;  $g = 10^{-4}$ , шаг спирали 0.42 мкм; толщина слоя 200 мкм; границы области дифракционного отражения 615 и 630 мкм. Как следует из рисунков, необратимость волн (неодинаковость длин прямой и обратной волн) привела к неодинаковости коэффициентов  $T_1$  и  $T_2$ , соответствующих двум взаимно противоположным направлениям прохождения плоскополяризованного света через слой.

Выражаю глубокую благодарность А. А. Геворгяну за числовые расчеты на компьютере и обсуждение ряда результатов.

#### ЛИТЕРАТУРА

1. Е. И. Кац, ЖЭТФ **59**, 1854 (1970).
2. В. А. Беляков, А. С. Сонин, *Оптика холестерических жидких кристаллов*, Наука, Москва (1982).
3. Ф. И. Феодоров, *Теория гиротропии*, Наука и техника, Минск (1976).
4. О. С. Ерицян, УФН **138**, 645 (1982).
5. Л. Д. Ландау, Е. М. Лифшиц, *Электродинамика сплошных сред*, Наука, Москва (1982).
6. С. W. Oseen, Trans. Farad. Soc. **29**, 883 (1933).
7. В. М. Агранович, В. Л. Гинзбург, *Кристаллооптика с учетом пространственной дисперсии и теории экситонов*, Наука, Москва (1979).
8. Б. В. Бокуть, А. Н. Сердюков, Ф. И. Феодоров, Н. А. Хило, Кристаллография **18**, 227 (1973).
9. Л. А. Островский, Б. Н. Степанов, Изв. вузов, Радиофизика **14**, 484 (1971).
10. О. С. Ерицян, *Оптика гиротропных сред и холестерических жидких кристаллов*, Айастан, Ереван, (1988), с. 68.



Разность коэффициентов прохождения для различных длин волн в области дифракционного отражения (а) и вне ее (б)